

طراحی اولیه پنل تقویت شده فشاری با استفاده از مفهوم شناسه سازه

مرتضی دزیانی^۱, شهرام یوسفی^{۲*}, حمید نخ فروش^۳, حسین دلایلی^۴

۱- دانشجوی دکتری، سازه‌های هوایی، دانشگاه صنعتی مالک اشتر - مجتمع دانشگاهی مکانیک هواپیما، شاهین شهر

۲- دانشیار، مهندسی هواپیما، دانشگاه صنعتی مالک اشتر - مجتمع دانشگاهی مکانیک هواپیما، شاهین شهر

۳- کارشناس ارشد، مهندسی هواپیما، پژوهشکده فناوری های هوایی دانشگاه فردوسی، مشهد

۴- استادیار، مهندسی مکانیک، دانشگاه صنعتی مالک اشتر - مجتمع دانشگاهی مکانیک هواپیما، شاهین شهر

* Shahin Yousefi, yousefi100@mut-es.ac.ir .83145/115

چکیده

پوسته‌های تقویت شده‌ای که بارگذاری غالب بر روی آنها فشاری محوری است به عنوان پنل تقویت شده فشاری شناخته می‌شوند. این پنل‌ها دارای کاربرد گسترده‌ای در سازه‌های هواپیما می‌باشند. روش‌های جاری طراحی برای این نوع سازه‌ها نیازمند انجام فرایندهای تکراری سعی و خطای می‌باشد. طراحی بر اساس مفهوم شناسه سازه یک روش طراحی و تحلیل همزمان است. این روش با دریافت پارامتر کلیدی شناسه سازه و خصوصیات مواد، اندازدهای کاملی از مقطع پنل تقویت شده فشاری را در یک گام در اختیار طراح قرار می‌دهد. نتیجه حاصل از روش شناسه سازه یک نتیجه تحلیلی و صریح است. در این مقاله، روش طراحی پنل تقویت شده با مفهوم شناسه سازه با پیکربندی کلی (شامل امکان انتخاب نوع تقویت کننده، امکان طراحی پنل تقویت شده یکپارچه و یا پنل تقویت شده پوسته-استرینگر) مورد بررسی قرار گرفته است. با انجام اصلاحاتی، ترتیب روش شناسه سازه به ترتیب تحلیل‌های چرخه‌ای مرسوم نزدیکتر شده است. نتایج حاصل را می‌توان به عنوان بهینه‌سازی اولیه نیز در نظر گرفت. این ترتیب با روش‌های جاری طراحی و روش اجزاء حدود مقایسه شده‌اند که علی‌رغم نزدیکی آنها، روش شناسه سازه ترتیب محافظه کارانه‌تری در اختیار می‌گذارد. این موضوع به علت ماهیت بهینه‌سازی تقریبی این روش می‌باشد. این روش علاوه برای اینکه خود می‌تواند یک طراحی اولیه قابل قبول باشد، به عنوان نقطه شروع طراحی در روش‌های عددی بهینه‌سازی نیز قابل استفاده است.

اطلاعات مقاله

دریافت: ۲۹ اردیبهشت ۱۳۹۳

پذیرش: ۰۳ مرداد ۱۳۹۳

ارائه در سایت: ۱۲ مهر ۱۳۹۳

کلید واژگان:

پنل تقویت شده فشاری

شناسه سازه

طراحی بهینه

Preliminary design of compression stiffened panel using structural index concept

Morteza Dezyani¹, Shahram Yousefi^{1*}, Hamid Nakhforoosh², Hosein Dalayeli¹

1- Department of Mechanical Aerospace, MalekAshtar University of Technology, Shahinshahr, Iran

2- Sun Air Research Institute, Ferdowsi University of Mashhad, Mashhad, Iran

*P.O.B. 83145/115 Shahinshahr, Iran, yousefi100@mut-es.ac.ir

ARTICLE INFORMATION

Original Research Paper

Received 19 May 2014

Accepted 25 July 2014

Available Online 04 October 2014

Keywords:

Compression stiffened panel

Structural index

Optimal design

ABSTRACT

Compression stiffened panels are reinforced skins that are mainly subjected to axial compressive load and are widely used in aerospace structures. Iterative design loops are the common methods for these types of structure. Design methodology based on structural index concept is a coupled design and analysis method. In this method detailed design of the compression stiffened panel is fully accomplished based on the key parameters of structural index and material properties of the panel. The complete design is obtained in single stage in an analytical and explicit manner. In this paper the design methodology of stiffened panel using structural index concept that could be applied on selective configuration of compression stiffened panel (including selection of stiffener type and the type of panel: integral or skin-stringer) is analyzed. The results are extracted and modified from two different approaches to manage the results of common iteration methods that are currently used in the preliminary sizing of stiffened panel. This procedure could be regarded as a near optimum design and therefore would be more conservative with respect to common methods. Final results of the derived methodology are compared with reported and FEM results. The results could be considered an acceptable design; furthermore, they can be used as an appropriate starting point in numerical optimization methods.

۱- مقدمه

ضروری است. در دسترس بودن یک پیش‌بینی اولیه از هندسه و رفتار جزء سازه‌ای مورد نظر و امکان به روزرسانی آن با توجه به تغییر در دیگر پارامترهای فرایند طراحی، برخی از دلایل نیاز به این راهبرد می‌باشند. این روش می‌بایست حتی امکان سریع، دقیق و کلی باشد. علاوه بر قابل استفاده در تمامی مراحل طراحی سازه‌های هوایی از مرحله طراحی اولیه تا طراحی جزئیات، در اختیار داشتن یک روش پارامتریک کلی برای اندازه کردن^۱ اجزاء

1- Sizing

Please cite this article using:

M. Dezyani, S. Yousefi, H. Nakhforoosh, H. Dalayeli, Preliminary design of compression stiffened panel using structural index concept, *Modares Mechanical Engineering*, Vol. 14, No. 13, pp. 67-76, 2015 (In Persian)

برای ارجاع به این مقاله از عبارت ذیل استفاده نمایید:

www.modares.ac.ir

رابطه‌ای مناسب برای ممان دوم سطح استخراج گردیده و در نهایت با ترکیب روابط به دست آمده، طراحی ابعادی پنل تقویت شده در یک گام صورت گرفته است. از نقاط برجسته این روش، تحلیلی و صریح بودن روابط حاصل، امکان به کارگیری آن با تقویت کننده‌های نوع L و Z و قابل اعمال بودن آن در پنل‌های تقویت شده یکپارچه و پوسته استرینگر می‌باشد. در پایان نیز نتایج حاصل با نتایج ارائه شده توسط دیگر محققان و روش اجزاء محدود مورد مقایسه و اعتبارسنجی قرار گرفته است.

1-2- معرفی روش شناسه سازه

شناسه سازه یک روش تحلیل و طراحی هم‌مان است که با استفاده از روابط تحلیلی موجود در سازه‌ها، یک رابطه کلی برای سطح تنش مجاز و ابعاد بهینه سازه به طور پارامتریک به دست می‌دهد. ورودی‌های مسئله در این روش طراحی، پارامتر شناسه سازه (رابطه 1) و خصوصیات مواد، می‌باشند.

$$K = \frac{N}{L} \quad (1)$$

در رابطه 1، N شدت بار اعمالی (نیرو برو واحد طول) و L طول پنل (برای مثال فاصله بین دو ریب در بال) می‌باشد. پارامتر شناسه سازه K با بعد $\frac{N}{L}$ است [6]. روش شناسه سازه برای تحلیل و اندازه کردن عناصر سازه‌ای مختلفی مورد استفاده قرار گرفته است که می‌توان به انواع تیرهای فشاری و خمی [7]، پوسته‌ها و پوسته‌های تقویت شده اشاره کرد [6]. همچنین در سازه‌های با مواد مرکب و تیرهای فشاری با هسته و پوسته با جنس متفاوت نیز این روش به کار گرفته شده است [8].

استفاده از مفهوم شناسه سازه و روش تحلیل و طراحی هم‌مان این راهبرد در موضوع پنل تقویت شده به مقاله معتبر فرار⁴ در سال 1949 بر می‌گردد [9] که در بسیاری از مراجع دیگر نیز [10، 6] کلیات آن به روش‌های مختلفی تکرار شده است. موارد ذیل مهمترین دلایلی است که نویسنده‌گان را به ادامه این راهبرد ترغیب کرد:

- وابسته بودن نتایج در مراجع اشاره شده به شکل خاصی از تقویت کننده با نسبت‌های هندسی مشخص، در حالی که در تحقیق فعلی رابطه کلی استخراج گردیده و قابل اعمال به پیکربندی دلخواه پنل تقویت شده یکپارچه و یا پوسته- استرینگر⁵ می‌باشد.

- لزوم بکارگیری روابط تجربی جدیدتر برای پیش‌بینی کمانش محلی تقویت کننده و مقایسه آن با نتایج ارائه شده قبلی.

- استفاده از رابطه دقیق تر اویلر- جانسون برای تحلیل کمانش موجی⁶ پنل تقویت شده با توجه به مقدار تنش کریپلینگ⁷ تقویت کننده.

- تحلیل نتایج حاصل از روش شناسه سازه و اعتبارسنجی آن به عنوان اولین گام طراحی.

2- طراحی پنل تقویت شده فشاری

پنل تقویت شده یا همان پوسته تقویت شده مقید (شکل 2)، از یک پوسته با طول و عرض مشخص به همراه تعدادی تقویت کننده⁸ یا استرینگر با شکل و ابعاد مشخص تشكیل شده است. بسته به بارگذاری مورد نظر، شکل و ابعاد

بودن این روش در طراحی مقدماتی سازه وسیله نقلیه هوایی، نتایج آن به عنوان یک نقطه شروع طراحی مناسب برای به دست آوردن طرح بهینه نهایی قابل استفاده است. بدیهی است که نتایج این روش تا تبدیل شدن به طرح نهایی دستخوش تغییرات زیادی شده و امکان اعمال روش‌های بهینه‌سازی متنوع و جدیدتر نیز بر روی آن وجود دارد.

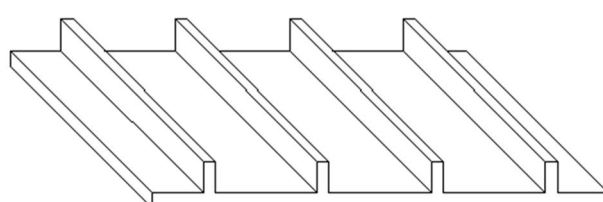
تعیین بار مجاز کمانش پنل تقویت شده فشاری یکپارچه¹ با تقویت کننده ساده تیغه‌ای² (شکل 1) از طریق روش‌های ارزی امکان‌پذیر بوده [1] و عموماً جواب دقیقی به همراه دارد. اما این راهبرد برای مقاصد عملی و پیکربندی‌های پیچیده‌تر کاربردی نبوده و روشهای مناسب برای طراحی ابعادی پنل تقویت شده با بار مجاز طراحی معلوم نمی‌باشد. یکی دیگر از روش‌های قابل اطمینان برای ارزیابی بار بحرانی یک پنل تقویت شده، استفاده از روش اجزاء محدود است که صرفاً یک روش تحلیل بوده و به عنوان یک ابزار طراحی قابل استفاده نیست.

در اغلب روش‌های کاربردی تحلیل و طراحی پنل تقویت شده، نقطه شروع طراحی و ابعاد اولیه با توجه به معلومات مسئله طراحی معین نمی‌گردد و از روابط تجربی [2، 3، 4] و نمودارهای طراحی اولیه برای تعیین آنها استفاده می‌شود. محدودیت استفاده از نوع مصالح، محدوده بارگذاری، هندسه تقویت کننده و نامشخص بودن دقت و مبنای استخراج آنها، باعث ایجاد محدودیت در استفاده از این نمودارهای تجربی می‌گردد. همچنین در بیشتر موارد دو یا چند پارامتر اولیه می‌باشد توسعه طراحی انتخاب گردد که عموماً میکاری مشخصی برای آنها وجود ندارد.

از آنجایی که نتایج روش‌های طراحی بهینه عددی [5] کاملاً وابسته به مقادیر عددی مسئله مورد نظر می‌باشند، قابلیت استنتاج یک نتیجه کلی وجود ندارد. در این روش‌ها با هر بار تغییر در پارامترهای ورودی، تمام فرایند بهینه‌سازی می‌باشد. محدودیت مجدد از نقطه آغازین تکرار شود. روش‌های عددی بهینه‌سازی در مراحل نهایی طراحی، هنگامی که تمام جزیئات با کمترین ساده‌سازی در نظر گرفته می‌شوند، کارآمد می‌باشند.

راهبردی که در اینجا برای طراحی اولیه پنل تقویت شده فشاری مورد استفاده قرار می‌گیرد، روش طراحی بهینه براساس مفهوم شناسه سازه³ است. در این روش پس از استخراج نتایج، تنش مجاز و ابعاد نسبی پارامترهای طراحی در دسترس خواهد بود. این روش در گام‌های اولیه طراحی که بسیاری از پارامترها به طور دقیق معین نیستند، کارآمدی بیشتری داشته و یک ابزار تحلیلی مناسب برای به دست آوردن ابعاد اولیه سازه به حساب می‌آید.

در مقاله حاضر با استفاده از راهبرد شناخته شده سازه و به کارگیری روابط تحلیلی موجود، فرایند طراحی و تحلیل پنل تقویت شده فشاری ارائه گردیده است. بدین ترتیب پس از معرفی قیود طراحی به صورت روابط تحلیلی،



شکل 1 پوسته با تقویت کننده یکپارچه در چهار گام

- 1- Integrally stiffened panel
- 2- Blade stiffener
- 3- Structural index

4- Farrar

5- Skin-stringer panel

6- Global or flexural buckling

7- Crippling

8- Stiffener

متغیرهای طراحی اصلی که در روابط بعدی مورد استفاده قرار می‌گیرند عبارتند از جزیبات مقطع پوسته (t , b), جان استرینگر (t_w , b_w) و مساحت بالهای استرینگر (A_2 , A_4).

در انتهای فرایند طراحی، روشی برای اندازه‌کردن جزیبات بالهای بالایی و پایینی استرینگر ارائه خواهد شد. جزیبات مقاطع بالهای استرینگر عبارتند از b و t_w به ترتیب برای عرض و ضخامت بال بالایی استرینگر و b_w و t_w به ترتیب برای عرض و ضخامت بال پایینی استرینگر (بال بیرون زده استرینگر). در مساله با کلیت بهینه‌سازی، معیاری که یک طرح را قابل قبول و یا مردود می‌سازد، قید مسئله طراحی نام دارد. از آنجایی که هدف، ارائه یک نتیجه کلی پارامتریک با استفاده از راهبرد شناسه سازه برای پنل تقویت شده فشاری است، می‌توان سه قید تنفس کمانش کلی یا موجی، تنفس کمانش محلی یا کریپلینگ و تنفس تسلیم فشاری ماده را به عنوان قیود طراحی نام برد. سطح تنفس در هر جزیی از پنل نباید از این سه مقدار فراتر رود.

2-1-1-کمانش کلی یا موجی

روش معمول برای محاسبه تنفس کمانش کلی، استفاده از رابطه اوبلر است. طبق روابط (4) و (5) داریم:

$$\sigma_{gb} = \frac{\pi^2 E}{\left(\frac{L'}{\rho}\right)^2} \quad (4)$$

$$\rho = \sqrt{\frac{I}{A}} \quad (5)$$

به طوری که ρ شعاع ژیراسیون، I ممان دوم سطح حول محوری گذرنده از مرکز سطح پنل موازی عرض پوسته b ، A سطح مقطع و E مدول الاستیک می‌باشد. مقدار L' نیز طول تصحیح شده پنل فشاری پوسته-استرینگر است که بسته به شرایط تکیه‌گاهی و نوع اتصال آن به ریبها معمولاً مقدار $L' = \frac{L}{\sqrt{c}}$ برای آن منظور می‌گردد [2].

رابطه 4 یک رابطه عمومی برای کمانش کلی ستون‌ها است و می‌توان اصلاحات ذیل را برای محاسبه دقیق‌تر کمانش کلی منظور کرد:
1. در نظر گرفتن مدول الاستیک مماسی E_T به جای مدول الاستیک E ، تا از این طریق مقدار تنفس حاصل با در نظر گرفتن اثرات قرار گرفتن در ناحیه غیر خطی نمودار تنفس-کرنش ماده لحظه گردد. مقدار مدول مماسی نیز بستگی به سطح تنفس و نوع ماده داشته و از رابطه رامبرگ-اوگود [4] قابل محاسبه است. قرار گرفتن در ناحیه غیرخطی نمودار تنفس-کرنش و استفاده از مدول الاستیک مماسی علاوه بر اینکه باعث پیش‌بینی دقیق‌تری از شروع ناپایداری در سازه می‌گردد، امکان استفاده از سطوح بالاتر تنفس مجاز را فراهم کرده و باعث کاهش وزن نیز خواهد شد. این موضوع به ویژه در سازه‌های هوایی که از نوع جدار نازک می‌باشند اهمیت می‌یابد. لازم به ذکر است که مدول الاستیک مماسی E_T و مدول الاستیک E در ناحیه خطی نمودار تنفس-کرنش با یکدیگر برابرند.

2. در برخی موارد با توجه به نسبت لاغری پنل، استفاده از رابطه اوبلر جانسون برای محاسبه تنفس کمانش کلی دقیق‌تر است. از آنجایی که نسبت لاغری پنل تقویت شده بعد از تکمیل طراحی ابعادی مشخص می‌گردد، استفاده از رابطه 6 برای محاسبه تنفس کمانش کلی می‌بایست به عنوان یک گام اصلاحی در نظر گرفته شود:

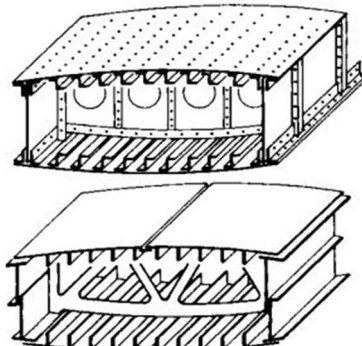
تقویت کننده متغیر خواهد بود، اما در پنل تقویت شده‌ای که بارگذاری غالب بر روی آن از نوع فشاری محوری است، متدالول ترین نوع تقویت کننده، نوع Z و L می‌باشد. یکی از دلایل استفاده از این دو شکل تقویت کننده، سهولت بازرسی‌های دورهای است [2]. این عنصر سازه‌ای به طور گستره‌ای در سازه‌های هوایی و فضایی کاربرد داشته و در سازه بال و بدنه هواپیمای سنگین و نیمه‌سنگین مورد استفاده قرار می‌گیرد.

2-1-معرفی تابع هدف، متغیرها و قیود طراحی

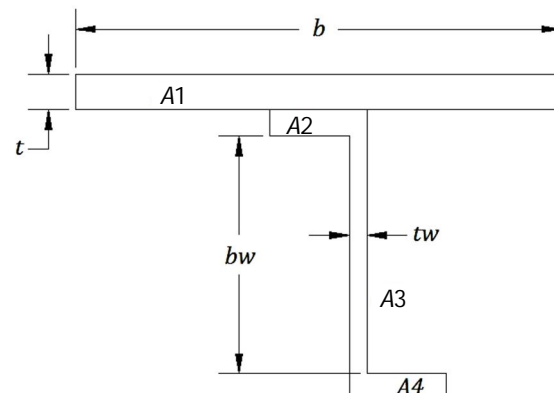
هندرسه پنل تقویت شده پوسته-استرینگر با تقویت کننده نوع Z در یک گام، در شکل 3 نشان داده شده است. این هندرسه کلی بوده و ممکن تبدیل آن به پنل تقویت شده با تقویت کننده نوع L و پنل تقویت شده یکپارچه با شکل دلخواه تقویت کننده (تیغه‌ای شکل و یا با بال بیرون زده¹) وجود دارد، از این رو نتایج به دست آمده برای این شکل کلی قابل تعمیم به موارد فوق می‌باشد. متغیرهای طراحی همان ابعاد هندسی مقطع پنل تقویت شده هستند که به عنوان مجهولات مسئله طراحی در نظر گرفته می‌شوند (رابطه 2). تابع هدف کمینه‌کردن² وزن است و در صورتیکه جنس پوسته و استرینگر یکسان در نظر گرفته شود معادل با به دست آوردن کمترین سطح مقطع پنل تقویت شده خواهد بود (رابطه 3). بدیهی است که با ثابت در نظر گرفتن پارامتر شناسه سازه، کمینه‌کردن سطح مقطع به مفهوم بیشینه کردن تنفس مجاز اعمال شده بر سازه خواهد بود [11].

$$X = \{b, t, b_a, t_a, b_w, t_w, b_f, t_f\} \quad (2)$$

$$f(x) = \min(bt + b_a t_a + b_w t_w + b_f t_f) \quad (3)$$



شکل 2 پنل تقویت شده در دو حالت تقویت کننده یکپارچه و پرج شده [12]



شکل 3 هندرسه پنل تقویت شده با تقویت کننده نوع Z در یک گام

1- Blade stiffener with outstanding flange
2- Minimization

2- محاسبه ممان دوم سطح مقطع پنل تقویت شده

به دست آوردن یک رابطه تقریبی برای محاسبه ممان دوم سطح مقطع پنل تقویت شده با پیکربندی نشان داده شده در شکل 3 به گونه‌ای که ضمن فراهم کردن یک نتیجه کلی از دقت قابل قبول نیز برخوردار باشد، ضروری است. این رابطه علاوه بر امکان اعمال به پنل تقویت شده با استرینگرهای نوع L و Z، محدود به نسبت خاصی از ابعاد مقطع تقویت کننده نمی‌گردد.

ابتدا مساحت بالهای بالایی و پایینی استرینگ به صورت نسبتی از مساحت جان استرینگ به صورت روابط (10) و (11) تعریف می‌شوند:

$$b_d t_d \equiv A_2 = \alpha A_3 = \alpha(b_w t_w) \quad (10)$$

$$b_f t_f \equiv A_4 = \beta A_3 = \beta(b_w t_w) \quad (11)$$

α و β نسبت بی بعد مساحت‌ها می‌باشند. با صرف نظر کردن از عبارات درجه دوم و درجات بالاتر ضخامت‌ها، عبارت ساده شده (12) برای ممان اینترسی مقطع پنل تقویت شده حول محور خنثی موازی عرض پوسته به دست خواهد آمد:

$$I_{xx} = \frac{1}{12} \frac{b_w^3 t_w}{bt + b_w t_w \alpha + b_w t_w + b_w t_w \beta} \times (4b_w t_w \alpha + 12\alpha\beta b_w t_w + b_w t_w + 4\beta b_w t_w + 4bt + 12\beta bt) \quad (12)$$

با تعریف نسبت سفتی پنل³ به صورت رابطه (13):

$$SR \equiv \frac{A_{st}}{A_{sk}} = \frac{b_w t_w (\alpha + \beta + 1)}{bt} \quad (13)$$

که یک نسبت مهم در طراحی پنل تقویت شده می‌باشد، می‌توان رابطه 13 را به صورت رابطه (14) نوشت:

$$I_{xx} = \frac{1}{12} \frac{b_w^3 t_w (SR \times f_1 + f_2)}{(1+SR)} \quad (14)$$

به طوری که طبق روابط (17-15):

$$f_1 = \frac{4\alpha + 4\beta + 12\alpha\beta + 1}{\alpha + \beta + 1} \quad (15)$$

$$f_2 = 4 + 12\beta \quad (16)$$

$$f_3 = \alpha + \beta + 1 \quad (17)$$

و مساحت کل مقطع پنل تقویت شده (تابع هدف) طبق رابطه (18) عبارت خواهد بود از:

$$A = bt(1+SR) \quad (18)$$

3- طراحی نزدیک به بهینه پنل تقویت شده فشاری

با برای قراردادن هر سه قید طراحی و استفاده از رابطه 7 برای پیش‌بینی تنش کمانش محلی پوسته و جان استرینگ، می‌توان ابعاد بهینه پنل را به گونه‌ای یافت که هیچکدام از قیود نقض نشده و همزمان هر سه قید طراحی فعل باشند. از آنجایی که در این راهبرد از اصل طراحی بهینه شده تمام تنبیه⁴ استفاده می‌شود، نتیجه حاصل نیز به نوعی نزدیک به بهینه است [17,18]. فرایند اجرایی این راهبرد به صورت زیر است:

1. با استفاده از روابط 5 و 12 می‌توان رابطه تنش کمانش کلی را به صورت زیر نوشت. طبق روابط (19) و (20) داریم:

3- Stiffening ratio

4- Fully stressed design

$$\sigma_{gb} = \sigma_{cy} - \frac{\sigma_{cy}^2 \left(\frac{L'}{\rho} \right)^2}{4\pi^2 E} \quad (6)$$

به طوری که σ_{cy} تنش مجذب فشاری ماده می‌باشد.

3. در یک پنل تقویت شده پوسته- استرینگ، رسیدن تنش به سطح تنش کریپلینگ در هر کدام از اجزای استرینگ به عنوان تنش بحرانی و یکی از مدهای خرابی آن در نظر گرفته می‌شود (با شرط: $\sigma_{cr} < 0.9\sigma_{cy}$). در نتیجه می‌توان با قرار دادن تنش کریپلینگ به جای تنش مجذب فشاری ماده در رابطه 6 به تقریبی دقیق‌تر از تنش کمانش کلی رسید [13, 2].

برای استفاده مناسب از تصحیحات اعمال شده در بند اول، یعنی به کارگیری مدول الاستیک مماسی انجام یک فرایند چرخه‌ای¹ ضروری است.

2-1-2- تنش کمانش محلی با کریپلینگ

در روش طراحی ارائه شده، پوسته و تقویت کننده به گونه‌ای اندازه می‌شوند که کمانش محلی در هیچ کدام از اجزاء آن رخ ندهد. به عبارت دیگر تمام عرض پوسته، مؤثر در نظر گرفته می‌شود [14, 15]. لذا می‌توان از رابطه کلی ارائه شده در تئوری صفحه برای تحلیل تنش کمانش محلی پوسته و استرینگ استفاده کرد [11]. طبق رابطه (7) داریم:

$$\sigma_{lb} = k_{cr} E \left(\frac{t}{b} \right)^2 \quad (7)$$

در رابطه 7 ضخامت ورق تحت بارگذاری فشاری محوری و b بعدی از ورق است که بار محوری فشاری به آن اعمال می‌شود. در صورتی که نسبت طول به عرض ورق (a/b) بیشتر از 3 فرض شود (که در پنل تقویت شده فشاری فرض صحیحی است)، دقت رابطه 7 قابل قبول خواهد بود. ضریب k_{cr} بسته به شرایط تکیه‌گاهی ورق دارد و برای یک ورق با چهار طرف تکیه‌گاه ساده (مانند جان استرینگ² یا پوسته پنل) $k_{cr}=3.62$ منظور می‌گردد [11]. با توجه به سفتی تقویت کننده، می‌توان فرض کرد که پوسته بر روی تکیه‌گاهی با استحکام بیشتر از تکیه‌گاه ساده قرار دارد و فرض تقویت کننده‌ها به عنوان تکیه‌گاه ساده یک فرض محافظه کارانه است.

روش دیگر تحلیل کمانش محلی پوسته و استرینگ، استفاده از رابطه 7 برای تحلیل کمانش پوسته و استفاده از روابط تجربی زیر برای کمانش محلی یا کریپلینگ استرینگ است. طبق روابط (8) و (9) داریم:

$$\sigma_{cr} = 0.6121 \sigma_{cy} \left[\frac{b}{t} \sqrt{\frac{\sigma_{cy}}{E}} \right]^{-0.7735} \quad (8)$$

$$\sigma_{cr} = 1.1819 \sigma_{cy} \left[\frac{b}{t} \sqrt{\frac{\sigma_{cy}}{E}} \right]^{-0.7882} \quad (9)$$

رابطه 8 تنش مجذب کریپلینگ مقطع استرینگ را با این شرط که جزء مورد نظر دارای یک سر آزاد باشد (مانند بال بیرون زده استرینگ) در اختیار می‌گذارد (با شرط: $\sigma_{cr} < 0.9\sigma_{cy}$). برای محاسبه تنش کریپلینگ در جان استرینگ از رابطه 9 استفاده می‌شود که برای اجزاء بدون سر آزاد معرفی گردیده است [30, 4, 16].

$$\sigma_{\text{allow}} = \left(k_1 k_2 k_3^2 \right)^{\frac{1}{4}} \left(\frac{N E}{L} \right)^{\frac{1}{2}} \quad (30)$$

همان‌طور که مشاهده می‌گردد، N/L پارامتر شناسه سازه با توان $\frac{1}{2}$ بوده و F فاکتور کارایی شکل است که تابعی از پارامترهای t_w/t و SR می‌باشد:

$$F = \left(k_1 k_2 k_3^2 \right)^{\frac{1}{4}} \rightarrow F = \frac{0.9523}{1+SR} \left[\left(\frac{k_2}{f_3^3} \right) \frac{SR^3 (SR \times f_1 + f_2)}{\left(\frac{t_w}{t} \right)^2} \right]^{\frac{1}{4}} \quad (31)$$

می‌توان با استفاده از رابطه (25) تعداد متغیرهای تابع کارایی شکل را به یک متغیر کاهش داد، لذا با تعریف $T = t_w/t$ (22)

$$F = 1.3136 \left(\frac{T^4 (f_1 f_3 T^2 + f_2)}{(1+f_3 T^2)^4} \right)^{\frac{1}{4}} \quad (32)$$

و یا با متغیر فرض کردن SR به دست می‌آید:

$$F = 1.3136 \left(\frac{SR^2 (SR f_1 + f_2)}{f_3^2 (1+SR)^4} \right)^{\frac{1}{4}} \quad (33)$$

با مشتق‌گیری از رابطه 32 و 33 می‌توان مقدار بهینه را پیدا کرد:

$$\left(\frac{t_w}{t} \right)_{\text{opt}} = \frac{1}{f_1 f_3} \times \left(0.707 \sqrt{f_1 f_3 (3f_1 - 2f_2 + \sqrt{9f_1^2 - 4f_1 f_2 + 4f_2^2})} \right) \quad (34)$$

$$SR_{\text{opt}} = \frac{0.5}{f_1} \left(3f_1 - 2f_2 + \sqrt{9f_1^2 - 4f_1 f_2 + 4f_2^2} \right) \quad (35)$$

با استفاده از روابط 28، 29، 34 و 35 می‌توان ابعاد نزدیک به بهینه پنل تقویت شده فشاری و مقدار مجاز تنش فشاری را برای هر بیکربنی دلخواه (متغیرهای α و β) در مقدار معین شناسه سازه یافت.

همچنین با توجه به اینکه فاکتور کارایی شکل (که مقادیر بهینه t_w/t و SR در آن جایگذاری شده‌اند)، خود تابعی از α و β می‌باشد، می‌توان تغییرات آن را نسبت به تغییر در این دو پارامتر مشاهده کرد (شکل 4).

2-3-1-اصلاح مقدار تنش مجاز پنل تقویت شده فشاری

در راهبرد ارائه شده برای طراحی پنل تقویت شده هر سه مقدار مجاز تنش (تنش کمانش کلی پنل، تنش کریپلینگ استرینگ و تنش کمانش محلی پوسته) باهم برابر قرار داده شدند. از طرفی مقدار صحیح تنش کمانش کلی یا سنتونی پنل تقویت شده بستگی به نسبت لاغری آن داشته و این نسبت تا قبل از طراحی کامل پنل تقویت شده معلوم نمی‌باشد. از این‌رو می‌توان با قرار دادن مقدار تنش به دست آمده از رابطه 30 در رابطه 6 (با توجه به نسبت لاغری پنل)، مقدار اصلاح شده تنش مجاز پنل تقویت شده را به دست آورد:

$$\sigma_{\text{allow}}^2 = \sigma_{\text{opt}}^2 - \frac{\sigma_{\text{opt}}^2 \left(\frac{L}{\rho} \right)^2}{4\pi^2 E} \quad (36)$$

و شدت بار مجاز طراحی عبارت خواهد بود از:

$$N_{\text{allow}} = \frac{\sigma_{\text{allow}} A}{b} \quad (37)$$

$$\sigma_1 = k_1 E \left(\frac{b}{L} \right)^2 \quad (19)$$

$$k_1 = \frac{\pi^2}{12} \left(\frac{b_w}{b} \right)^3 \left(\frac{t_w}{t} \right) \left[\frac{(SR \times f_1 + f_2)}{(1+SR)^2} \right] \quad (20)$$

2-رابطه (21) برای پیش‌بینی کمانش محلی (پوسته و جان استرینگ) مورد استفاده قرار می‌گیرد (بازنویسی رابطه 7):

$$\sigma_2 = k_2 E \left(\frac{t}{b} \right)^2 \quad (21)$$

اگر پوسته در حالت بحرانی باشد، ضریب کمانش محلی طبق رابطه (22) عبارت خواهد بود از [11]:

$$k_2 \equiv k_{2sk} = 3.62 \quad (22)$$

رابطه مورد استفاده برای پیش‌بینی کمانش بحرانی جان استرینگ طبق رابطه (23) عبارت است از [11]:

$$\sigma_{\text{lb-stringer-web}} = k_{\text{cr}} E \left(\frac{t_w}{b_w} \right)^2 \quad (23)$$

اگر تقویت کننده از نوع L یا Z باشد: $k_{\text{cr}}=3.62$ و اگر از نوع تیغه‌ای بدون بال بیرون زده باشد $k_{\text{cr}}=0.58$ خواهد بود.

ضریب کمانش محلی در حالت بحرانی بودن استرینگ طبق رابطه (24) عبارت خواهد بود از:

$$k_2 \equiv k_{2st} = k_{\text{cr}} f_3^2 \left(\frac{t_w}{t} \right)^4 \left(\frac{1}{SR} \right)^2 \quad (24)$$

اگر پوسته و استرینگ به طور همزمان در حد نهایی تنش مجاز قرار بگیرند، حالت بهینه به دست می‌آید. طبق رابطه (25) داریم:

$$k_{2sk} = k_{2st} \rightarrow SR = f_3 \sqrt{\frac{k_{\text{cr}}}{k_{2sk}}} \left(\frac{t_w}{t} \right)^2 \quad (25)$$

3. رابطه تنش حدی¹ طبق رابطه (26.27) عبارت است از:

$$\sigma_3 = k_3 \left(\frac{N}{t} \right) \quad (26)$$

$$k_3 = \frac{1}{1+SR} \quad (27)$$

با برابر قرار دادن تنش‌های مجاز $\sigma_1 = \sigma_2 = \sigma_3$ و معلوم فرض کردن ضرایب k_1, k_2, k_3 ، ابعاد بهینه پوسته به دست خواهد آمد. طبق روابط (28.29) داریم:

$$t = \left(\frac{k_3^2}{k_1 k_2} \right)^{\frac{1}{4}} \left(\frac{LN}{E} \right)^{\frac{1}{2}} \quad (28)$$

$$b = \left(\frac{k_2 k_3^2}{k_1^3} \right)^{\frac{1}{4}} \left(\frac{NL^3}{E} \right)^{\frac{1}{2}} \quad (29)$$

با جایگذاری این ابعاد در هر کدام از روابط تنش (26، 19، 21 یا 22) حداکثر تنش مجاز در مقدار معین شناسه سازه طبق رابطه (30) عبارت خواهد بود از:

1- Limiting stress

$$\sigma_1 = \left(\frac{\pi^2}{12} \left(\frac{SR}{f_3} \right)^3 \frac{(SR \times f_1 + f_2)}{(1+SR)^2} \right) \left(\frac{b}{LT} \right)^2 \quad (39)$$

$$\sigma_{2st} = E \left[K \sigma_{cy} \left(E^{-\frac{1}{p}} \sqrt{\frac{E}{\sigma_{cy}}} \right)^p \left(\frac{f_3}{SR} \right)^p \right] \left[T^{2p} \left(\frac{t}{b} \right)^p \right] \quad (40)$$

$$\sigma_{2sk} = 3.62E \left(\frac{t}{b} \right)^2 \quad (41)$$

$$\sigma_3 = \frac{1}{1+SR} \left(\frac{N}{t} \right) \quad (42)$$

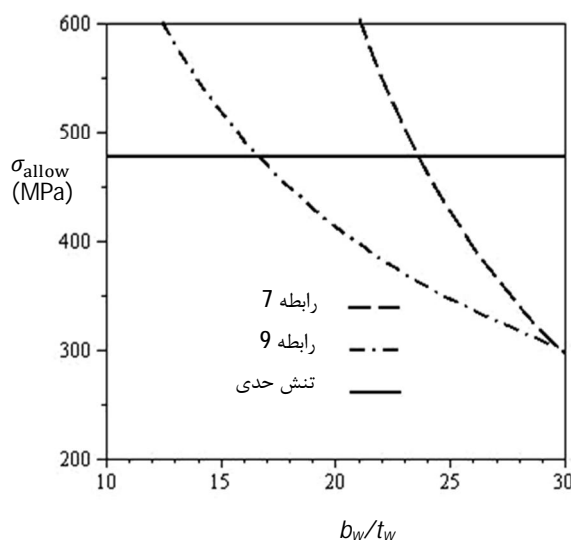
اگر ضرایب سمت چپ در روابط فوق به ترتیب k_1, k_{2sk}, k_{2st} و k_3 و متغیرهای طراحی $SR, E, t_w/t$ و $T \equiv t_w/t$ فرض شوند، می‌توان با انجام عملیات ریاضی لازم، متغیرهای طراحی و شکل نهایی تابع تنش را بر حسب شناسه سازه به دست آورد:

$$\sigma_{opt} = \left(k_1 k_{2sk}^{\frac{1}{2}} k_{2st}^{\frac{1}{p}} k_3^2 \right)^{\frac{2p}{7p+2}} E^{\frac{3p+2}{7p+2}} \left(\frac{N}{L} \right)^{\frac{4p}{7p+2}} \quad (43)$$

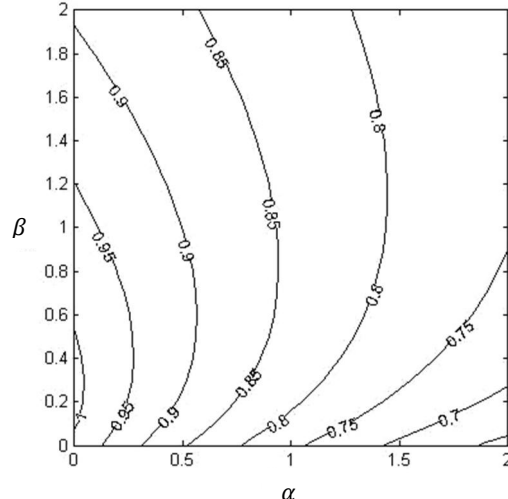
به طوری که برای پل تقویت شده با تقویت کننده L یا Z، $k=1.1819$ و $p=0.7882$ می‌باشد. مشخصات ماده نیز مطابق با جدول 1 است. در نتیجه:

$$\sigma_{opt} = 0.5184 \left(\left(\frac{SR}{f_3} \right)^3 \frac{(SR \times f_1 + f_2)}{(1+SR)^4} \right)^{0.2097} \left(\frac{N}{L} \right)^{0.4194} \quad (44)$$

با استفاده از رابطه 44 می‌توان مقدار بیشینه یا بهینه تنش فشاری مجاز را برای هر پیکربندی دلخواه پل (متغیرهای α و β و SR) یافت. همچنین با معلوم بودن متغیرهای α و β ، می‌توان با مشتقهای از رابطه 44 مقدار بهینه‌ای برای SR یافت و یا اینکه بسته به ملزمات طراحی آن را به صورت دلخواه انتخاب کرد. در نهایت برای اصلاح مقدار تنش مجاز و شدت بار بحرانی بسته به نسبت لاغری پل تقویت شده طراحی شده، روابط 36 و 37 به کار گرفته می‌شوند.



شکل 5 مقایسه روابط 7 و 9 برای پیش‌بینی کریپلینگ استرینگ



شکل 4 اثر تغییرات مقادیر α و β در مقدار بهینه فاکتور کارایی شکل

و مقدار واقعی شناسه سازه به دست می‌آید:

$$K_{real} = \frac{N_{allow}}{L} \quad (38)$$

4-4- طراحی اولیه پل تقویت شده با استفاده از روابط تجربی تنش کریپلینگ راهبرد کلی معرفی شده در بخش 3-2 را می‌توان با بکارگیری روابط 8 و 9 برای محاسبه تنش کریپلینگ مقطع جان استرینگ، بهبود بخشدید. با مقایسه روابط 7 و 9 برای پیش‌بینی تنش کریپلینگ جان استرینگ در نمودار شکل 5 می‌توان نتیجه گرفت که رابطه تجربی اخیر محافظه کارانه‌تر بوده و با اضافه کردن این شرط اضافی به قیود طراحی مستله، نتیجه حاصله بهبود می‌یابد.

لازم به ذکر است که در روش‌های معمول طراحی نسبت b_w/t_w معمولاً بین 18 تا 22 در نظر گرفته می‌شود [4] و در نسبت‌های بیشتر از 30.3 مقدار مجاز تنش کریپلینگ جان استرینگ به شدت کاهش می‌یابد. نمودارهای شکل 5 با در نظر گرفتن مشخصات ماده مطابق با جدول 1 رسم شده‌اند.

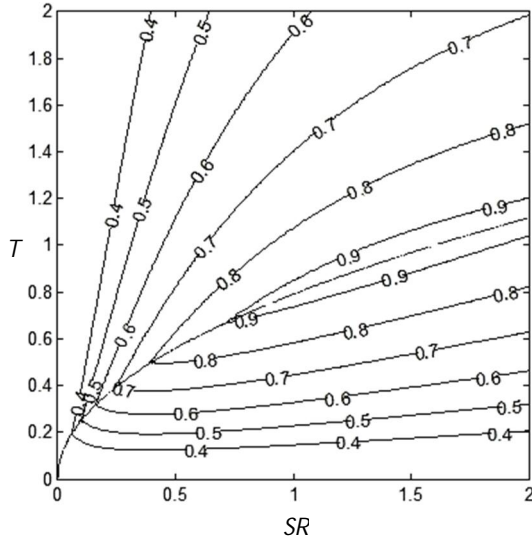
در صورتی که سطح تنش در مقطع استرینگ بیشتر از مقدار پیش‌بینی شده توسط رابطه 9 باشد مقطع دچار کمانش محلی یا کریپلینگ شده و طراحی غیر قابل قبول خواهد بود. بیشترین مقدار تنشی که می‌توان برای کریپلینگ در نظر گرفت، $0.9\sigma_{cy}$ است. اعمال تنشی بالاتر از این مقدار نیازمند آزمایش تجربی برای بررسی عدم کریپلینگ مقطع است.

4-1-4- معرفی قیود طراحی و استخراج نتایج

در این راهبرد چهار رابطه برای معرفی تنش‌های بحرانی در سازه معرفی می‌شوند که از برابر قرار دادن آنها سه معادله مستقل به دست می‌آید. این روابط به ترتیب عبارتند از: تنش مجاز کمانش کلی، تنش کریپلینگ جان استرینگ، تنش کمانش پوسته و تنش معادل در سازه (به ترتیب روابط 39 تا 42).

جدول 1 مشخصات ماده پل تقویت شده [2]

پارامتر ماده	مقدار
مدول الاستیک	$E = 73774 \text{ MPa}$
تشنگی	$\sigma_{cy} = 531 \text{ MPa}$
ضریب پوآسون	$\nu = 0.33$

شکل 6 تغییرات فاکتور کارایی شکل در اندازه تغییرات مقادیر T , SR

$$\left(\frac{t_w}{t}\right)_{opt} = 0.94 \quad (49)$$

$$SR_{opt} = 1.4127 \quad (50)$$

$$F_{opt} = 0.943 \quad (51)$$

$$\sigma_{opt} = 0.943 (KE)^{\frac{1}{2}} \quad (52)$$

مقادیر به دست آمده فوق قابل مقایسه با مقادیر بهینه ذکر شده در مرجع [11] هستند که عبارتند از: $t_w/t=1.05$, $t_w=1.05$, $SR=1.5$, $F=0.95$ و $KE=0.95$. اختلاف بین مقادیر بهینه به علت استفاده از ضرایب دقیق‌تر کمانش محلی در مرجع [11] با توجه به نمودارهای تجربی موجود بوده است.

در صورتی که رابطه تنش بهینه به دست آمده در بخش 4-2 (رابطه 44) با پیکربندی $\alpha = \beta = 0.3$ و مشخصات ماده مطابق با جدول 1 استخراج گردد، رابطه تنش بهینه‌ای حاصل می‌شود که کاملاً قابل مقایسه با رابطه 52 است:

$$\sigma_{opt} = 4737.4 \left(\frac{N}{L} \right)^{0.4194} \quad (53)$$

با رسم نمودارهای تنش بهینه هر دو راهبرد بر حسب شناسه سازه در شکل 7 مخصوص می‌شود نتایج هر دو روش نزدیک به هم می‌باشند، اگرچه رابطه 53 مقادیر دقیق‌تری در اختیار می‌گذارد.

3-1- مقایسه نتایج روش شناسه سازه و روش‌های موجود
با استفاده از نتایج تحلیل‌های بخش 4-2 (رابطه 44) ابعاد بهینه و شدت بار محوری مجاز پنل تقویت شده به دست آمده و با مقادیر بیان شده در مرجع [2] مقایسه شده است (جدول 2). در دو مورد پارامترهای شناسه سازه و خصوصیات مواد یکسان در نظر گرفته شده‌اند.

لازم به ذکر است که در طراحی کاربردی پنل‌های تقویت شده فشاری به علت برخی مزومات طراحی از نسبت سفتی غیر بهینه استفاده می‌شود (معمولًا $SR=0.5$ [4, 6]). بدیهی است در صورت استفاده از مقدار بهینه نسبت سفتی، مقدار تنش مجاز افزایش خواهد یافت.

در صورتی که ابعاد طراحی شده جدول 2، با روش تحلیلی چرخه‌ای

2-5- اندازه کردن بال‌های استرینگر

تاکنون روش‌هایی برای اندازه کردن ابعاد اصلی پنل تقویت شده پوسته-استرینگر مطرح گردید که در آن ابعاد پوسته، مساحت استرینگر و ابعاد جان استرینگر به دست آمدند. با توجه به در نظر گرفتن تقریبی از ممان دوم سطح مقطع پنل تقویت شده که در آن از جزئیات ابعاد بال‌های پایینی و بالایی استرینگر صرف نظر شده و فقط نسبت مساحت‌هایشان مطرح گردیده است، می‌توان چنین نتیجه گرفت که مهمترین شرط برای اندازه کردن این اجزاء عدم کمانش محلی یا کریپلینگ این مقاطع است. با این شرط می‌توان هر دو نوع استرینگر L و Z را با توجه به نیاز طراحی اندازه کرد. برای نیل به این هدف از رابطه تجربی تنش کریپلینگ 8 استفاده می‌شود. با توجه به رابطه 8 برای استرینگرهای نوع Z می‌توان نوشت:

$$\frac{b_a}{t_a} \leq \left[\frac{E^{\frac{p}{2}} \sigma_{allow}}{k \sigma_{cy}^{1+\frac{p}{2}}} \right]^{\frac{1}{p}} \quad (45)$$

$$b_a t_a = ab_w t_w \quad (46)$$

به طوریکه $k=0.6121$ و $p=-0.7735$ می‌باشد. در صورتی که قید طراحی خاصی بر روی ابعاد بال استرینگر وجود نداشته باشد، رابطه کوچکتر مساوی به مساوی تبدیل می‌شود.

همچنین در استرینگرهای نوع L:

$$\frac{b_a}{2t_a} \leq \left[\frac{E^{\frac{p}{2}} \sigma_{allow}}{k \sigma_{cy}^{1+\frac{p}{2}}} \right]^{\frac{1}{p}} \quad (47)$$

$$b_a t_a = ab_w t_w \quad (48)$$

در صورتی که قید طراحی خاصی بر روی ابعاد بال استرینگر وجود نداشته باشد، رابطه کوچکتر مساوی به مساوی تبدیل می‌شود. در روابط فوق، σ_{allow} همان تنش مجاز اعمال شده بر روی پنل است که از روابط بهینه شده شناسه سازه محاسبه گردیده است. در صورتی که از روش فوق برای اندازه کردن بال بیرون زده استرینگر (بال پایینی) استفاده شود، می‌بایست در روابط 46 و 48 ضریب β اعمال گردد.

3- تحلیل و اعتبار سنجی نتایج

به منظور بررسی صحت و اعتبار سنجی رابطه کلی 31، نتایج آن با نمونه حل شده در مرجع [11] مقایسه می‌گردد. در این حالت $\alpha = \beta = 0.3$ است و ضخامت جان استرینگر با ضخامت بال‌های آن برابر و مساوی t_w در نظر گرفته می‌شود: $t_a = t_r = t_w$. با این توضیحات $f_1=2.8$, $f_2=7.6$, $f_3=1.6$ و ضریب کمانش بحرانی محلی، k_2 نیز بسته به بحرانی بودن پوسته و یا استرینگر مطابق با روابط 22 و یا 24 به دست خواهد آمد. با این معلومات می‌توان فاکتور کارایی شکل را بر حسب متغیرهای طراحی رسم کرده و مقادیر بهینه آن را به دست آورد. بسته به پیکربندی پنل (مقادیر SR و T), پوسته و یا استرینگر در معرض کمانش محلی خواهد بود. مطابق با نمودار شکل 6، اگر $SR < f_3(t_w/t)^2$ پوسته و اگر $SR > f_3(t_w/t)^2$ استرینگر در حالت بحرانی کمانش قرار می‌گیرد. نقطه بهینه طراحی زمانی است که پوسته و استرینگر همزمان به بار کمانش بحرانی محلی برسند. این موقعیت برابر با کمانش کل پنل نیز خواهد بود (نمودار نقطه چین در شکل 6). در این حالت مقادیر بهینه عبارتند از:

جدول 3 مقایسه نتایج پنل تقویت شده با استرینگر نوع Z با بالهای مساوی

بخش 2-4	بر اساس مرجع [4]	روش طراحی
مشخصات ماده	بر اساس مرجع [4]	شناسه سازه (N/mm ²)
4/3 (4/96)	4/3	SR
0/5	0/5	نسبت سفتی
2837/1	2837/1	شدت بار مجاز (kN/m)
		ابعاد پنل تقویت شده (mm)
136/38	124/14	b
5/64	5/29	t
56/75	54/8	b _w
3/16	2/8	t _w
33/86	23/6	b _a
3/02	3/68	t _a
1152/9	985/7	A

3-2 مقایسه با نتایج حاصل از تحلیل‌های اجزاء محدود

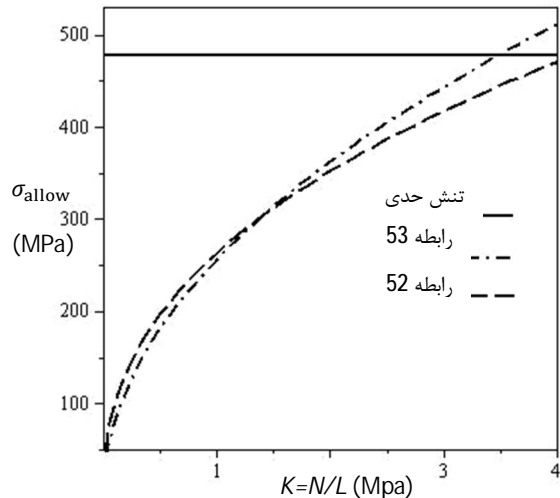
بیچیدگی رفتار پنل تقویت شده تحت اثر بار محوری باعث احتمال وقوع مدهای کمانش متفاوت شامل مدهای کمانش کلی و محلی پوسته و تقویت کننده [19,20] در این نوع سازه می‌گردد. به علت این پیچیدگی استفاده از روش‌های اجزاء محدود و یا آزمایش‌های تجربی برای پیش‌بینی دقیق مقدار بار بحرانی و مدهای کمانشی ضروری و در برخی مواقع یگانه روش مورد استفاده است [21]. در این بخش به منظور انجام فرایند اعتبارسنجی از نتایج طراحی ابعادی روش شناسه سازه، بسته تجاری اجزاء محدود ANSYS11 برای تحلیل پنل تقویت شده و مقایسه نتایج به کار گرفته می‌شود. المان پوسته SHELL63 در این تحلیل‌ها مورد استفاده قرار گرفته است. همچنین تعداد مناسب المان‌ها با توجه به مطالعات مشابه و نتایج حاصل از همگرایی انتخاب گردیده است [22,23].

در پنل‌هایی که در آن پوسته و استرینگر با اتصال پرج به یکدیگر متصل شده‌اند، موضوع مهمی که در مقدار بار بحرانی مود اول کمانش حائز اهمیت است، فاصله بین پرج‌ها و مسئله کمانش بین پرچی است. اندازه کردن فاصله بین پرج‌ها از طریق روش‌های ساده تحلیلی در مراجع موردن بررسی قرار گرفته و در اینجا از ذکر مجدد آن خودداری می‌گردد [2,3,4]. از اینرو پنل تقویت شده یکپارچه با تقویت کننده تیغه‌ای و پنل تقویت شده یکپارچه با تقویت شده تیغه‌ای با بال بیرون زده از طریق روش شناسه سازه برای بار طراحی 1751.3 kN/m اندازه می‌گردد. سپس پنل تقویت شده طراحی شده با مشخصات ماده‌ای مطابق با جدول 1 از طریق روش اجزاء محدود تحلیل شده و بار بحرانی کمانش آن به دست می‌آید.

نتایج حاصل از دو روش در جدول 4 مقایسه شده‌اند. نتایج نشان دهنده معتبر بودن طراحی در محدوده بار بحرانی کمانش می‌باشد. لازم به ذکر است که در طراحی پنل تقویت شده یکپارچه با تقویت کننده تیغه‌ای با بال بیرون زده از مقدار بهینه $\beta = 0.25$ استفاده شده است. شکل اولیه و مود اول کمانش در شکل 8 و شکل 9 به ترتیب برای حالت پوسته با تقویت کننده تیغه‌ای و پوسته با تقویت کننده تیغه‌ای با بال بیرون زده در یک گام آورده شده است.

جدول 4 مقایسه بار بحرانی کمانش (kN/m) از روش شناسه سازه و اجزاء محدود

نوع پنل تقویت شده	شناسه سازه	اجزاء محدود	% اختلاف
پنل یکپارچه با تقویت کننده تیغه‌ای	2289/8	1751/3	%23
تقویت کننده تیغه‌ای با بال بیرون زده	1820/1	1751/3	%3.8



شکل 7 مقایسه مقدار تنش بیشینه از دو روش مختلف بر اساس شناسه سازه

معرفی شده در مرجع [2] مورد تحلیل قرار گیرد، شدت بار محوری مجاز $N_{allow}=2007.3$ kN/m به دست می‌آید که کاملاً تزدیک به نتایج حاصل در جدول 2 است.

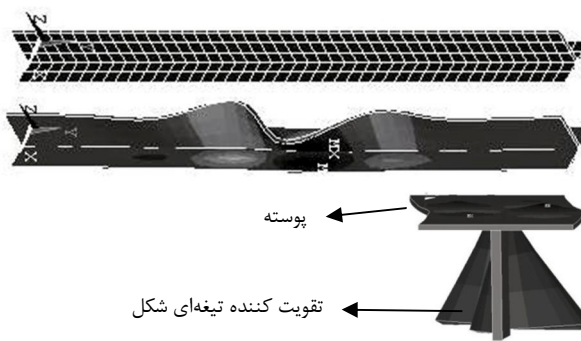
لازم به ذکر است که در جدول 2 و جدول 3 مقدار اولیه شناسه سازه در داخل پرانتز آورده شده است که با توجه به نسبت لاغری پنل طراحی شده این مقدار توسط روش بخش 1-3-2 اصلاح گردیده و مقدار واقعی شناسه سازه نوشته شده است.

طراحی ابعادی پنل تقویت شده فشاری در مرجع [4] با استفاده از الگوریتم بهینه‌سازی SQP بهبود یافته است و نتایج حاصل از این روش و روش ارائه شده در این مقاله در جدول 3 مورد مقایسه قرار گرفته‌اند. از آنجاییکه در مرجع [4] از یک روش بهینه‌سازی عددی - چرخه‌ای استفاده شده است، نتایج بهتری در برخواهد داشت، اما روش شناسه سازه همچنان برتری خود را به عنوان یک ابزار اولیه و سریع در طراحی ابعادی پنل تقویت شده فشاری حفظ خواهد کرد.

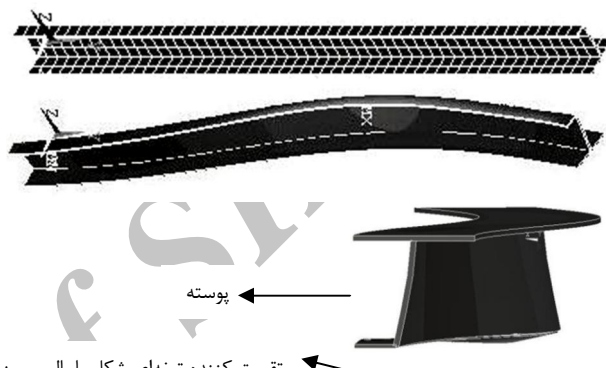
جدول 2 مقایسه نتایج پنل تقویت شده با استرینگر نوع A

روش طراحی	بر اساس مرجع [2]	بخش 4-2
مشخصات ماده	جدول 1	جدول 1
شناسه سازه (N/mm ²)	2/3(3/4)	2/3
نسبت سفتی	0/5	0/5
شدت بار مجاز (kN/m)	1917/7	1920/3
ابعاد پنل تقویت شده (mm)		
b	139/03	129/03
t	4/98	3/94
b _w	55/37	48/01
t _w	2/29	2/44
b _a	50/5	51/3
t _a	3/2	2/7
b _r	29/2	19/1
t _r	1/8	2/4
A	1308/2	805/9

طول پنل تقویت شده (m)	L
شدت بار مجاز محوری (Nm ⁻¹)	N
نسب مساحت استرینگر به مساحت پوسته: نسبت سفتی پنل	SR
نسبت ضخامت جان تقویت کننده به ضخامت پوسته	T
علایم یونانی	
نسبت مساحت بال استرینگر به جان استرینگر	α
نسبت مساحت بال بیرون زده استرینگر به جان استرینگر	β
نسبت پوآسون	v
شعاع ژیراسیون (m ²)	ρ
تنش Nmm ⁻² (MPa)	σ
زیرنویس‌ها	
مقدار مجاز	allow
کریپلینگ (مریبوط به تنش)	cr
تسلیم فشاری (مریبوط به تنش)	cy
کمانش کلی	gb
کمانش محلی	lb
مقدار بهینه	opt
پوسته	sk
تقویت کننده (سترینگر)	st



شکل 8 شکل مود کمانش اول پنل تقویت شده یکپارچه با تقویت کننده تیغه‌ای در یک گام



شکل 9 شکل مود کمانش اول پنل تقویت شده یکپارچه با تقویت کننده تیغه‌ای با بال بیرون زده در یک گام

- [1] S. P. Timoshenko, J. M. Gere, *Theory of Elastic Stability*, Second Edition, New York: McGraw-hill book company, 1961.
- [2] C-Y. M. Niu, *Airframe Stress Analysis and Sizing*, Second Edition, Hong Kong commilit press, 2001.
- [3] M. Abdo, P. Piperni, F. Kafyeke, Conceptual design of stringer stiffened compression panels, in *Canadian aeronautics and space institute 50th AGM and conference*, Montreal, 2003.
- [4] S. Chintapalli, M. Elsayed, R. Sedaghati, M. Abdo, The development of a preliminary structural design optimization method of an aircraft wing-box skin-stringer panels, *Aerospace Science and Technology*, Vol. 14, No. 3, pp. 188–198, 2010.
- [5] A. Fereidoon, H. Hemmatian, A. Mohammadzadeh, E. Assarreh, Sandwich panel optimization based on yielding and buckling criteria by using of imperialist competitive algorithm, *Modares Mechanical Engineering*, Vol. 13, No. 4, pp. 25-35, 2013. (In Persian)
- [6] J. Wiedemann, *Leichtbau 2: konstruktion*. Berlin: Springer-verlag, 1996. (in Germany).
- [7] M. Dezyani, H. Nakhforoosh, S. Yousefi, H. Dalayeli, An Investigation On The Optimum Design Using Structural Index Concept: Study Of Bending Beams, in *21st International Conference on Mechanical Engineering*, Tehran, 2013. (In Persian).
- [8] B. Budiansky, On the minimum weights of compression structures, *International Journal of Solids and Structures*, Vol. 36, No. 24, no. 25, pp. 3677-3708, 1999.
- [9] D. J. Frarr, The design of compression structures for minimum weight, *Journal of aeronautical society*, vol. 53, pp. 1041-1053, 1949.
- [10] D.M. Richards, *The minimum weight design of compression structures including plasticity effects*, PhD Thesis, Cranfield Institute of technology, 1977.
- [11] D. W. A. Rees, *Mechanics of optimal structural design*, New York: John Wiley & Sons, Ltd, 2009.
- [12] J. Wiedemann, *Leichtbau1: Elemente*, Berlin: Springer, 1996. (in Germany)
- [13] S. van der Veen, D. Coatta, Stiffened panels in compression: redirecting loads toward high-strength stiffeners, in *45th AIAA/ASME/ASCE/AHS/ASC Structures, Structural Dynamics & Materials Conference*, Palm Springs, 2004.
- [14] E. F. Bruhn, *Ananlysis and design of flight vehicle strucures*, Tri-state offset company, 1973.
- [15] Sh. Yousefi, *Analysis of aerospace structure*, Tehran: Sazmane sanaye havafaza, 2006. (In Persian)
- [16] G. Gerard, *Handbook of structural stability- failure of plates and composite elements*, Washington: NACA, NACA TN 3784, 1957.
- [17] V.B. Venkaya, Design of optimum structures, *Computers&Structures*, Vol. 1, No. 1-2, pp. 265-309, 1971.

6- مراجع

در این مقاله روند طراحی اولیه پنل تقویت شده فشاری با استرینگرهای نوع L و Z با پیکربندی و خصوصیات مواد دلخواه بر اساس مفهوم شناسه سازه تشریح و فرایند طراحی ابعادی آن بیان شد. ابزار طراحی ابعادی ارائه شده در یک گام و به صورت تحلیلی و صریح طراحی اولیه پنل تقویت شده فشاری را ارائه می‌کند. در مقایسه با نتایج دیگر محققان که از روش‌های چرخه‌ای استفاده می‌کنند، نتایج حاصل اگر چه از لحاظ وزن سنگین‌تر اما در حوزه بار بحرانی قابل قبول می‌باشد. مقایسه بار بحرانی طراحی براساس روش شناسه سازه و برای روانی کمانش حاصل از تحلیل‌های اجزاء محدود نشان دهنده معتبر بودن طراحی می‌باشد. به کارگیری نتایج روش شناسه سازه برای نقاط اولیه طراحی در روش‌های بهینه‌سازی عددی باعث بهبود نتایج و کاهش هزینه محاسبات بهینه‌سازی می‌گردد.

در نظر گرفتن موضوع کمانش بین پرچی و اندازه کردن فاصله بین پرچهای اولیه پنل تقویت شده پوسته- استرینگر از مواردی است که می‌تواند در ادامه تحقیق فلی ارائه گردد. همچنین استفاده از مفهوم عرض موثر در محاسبات شناسه سازه می‌تواند به بهبود و تکمیل نتایج ارائه شده کمک کند.

5- فهرست علاوه

مساحت مقطع پنل تقویت شده (m ²)	A
ضریب ثابت نوع تکیه‌گاه	C
مدول الاستیک (Nm ⁻²)	E
گشتاور دوم سطح (m ⁴)	I
شناسه سازه (Nm ⁻²)	K

- [21]B. Colson, M. Bruyneel, S. Gribon, C. Raick, A. Remouchamps, Optimization methods for advanced design of aircraft panels: a comparison, *Optimization and Engineering*, Vol. 11, no. 4, pp. 583–596, 2010.
- [22]T. Subramani, A. Sugathan, Finite Element Analysis of Thin Walled-Shell Structures by ANSYS and LS-DYNA, *International Journal of Modern Engineering Research*, Vol. 2, no. 4, pp. 1576–1587, 2012.
- [23]S.F. Badrana, A. O. Nassef, S. M. Metwally, Y-stiffened panel multi-objective optimization using genetic algorithm, *Thin-Walled Structures*, Vol. 47, no. 11, pp. 1331–1342, 2009.
- [18]S. N. Patnaik, D. A. Hopkins, Optimality of a fully stressed design, *Computer Methods in Applied Mechanics and Engineering*, Vol. 165, No. 1-4, pp. 215–221, 1998.
- [19]O. Bedair, Analysis and Limit State Design of Stiffened Plates and Shells: A World View, *Applied Mechanics Reviews*, Vol. 62, 2013.
- [20]M. Mirali, A.S. Safari, N. Zhiani, Buckling ultimate analysis of stiffened plate under combined axial and lateral pressure, in 16st International Conference on Mechanical Engineering, Kerman, 2008. (in Persian)